

# بررسی اثر نانولایه خاک رس بر سینتیک پلیمریزاسیون رادیکالی انتقال اتم استایرن

## پژوهش نفت

سال بیستم  
شماره ۶۲  
صفحه ۱۵-۳، ۱۳۸۹

حسین روغنی ممقانی، وحید حدادی اصل<sup>\*</sup>، محمد نجفی و مهدی سلامی کلچاهی

دانشگاه صنعتی امیرکبیر، دانشکده مهندسی پلیمر

[haddadi@aut.ac.ir](mailto:haddadi@aut.ac.ir)

و بازده شروع کننده بزرگتر از ۱ بود و با افزایش میزان خاک رس، کاهش محسوس در وزن مولکولی و افزایش در شاخص پراکندگی آنها مشاهده شد. هم‌چنین در مورد همه نمونه‌ها، شاخص پراکندگی با پیشرفت واکنش باریک‌تر شده به نحوی که از مقادیر بزرگتر از ۲ شروع و در انتهای واکنش به حدود ۲/۱ رسید. نتایج FTIR، نشان دهنده برهم‌کنش بین ذرات نانو و مونومر بود که این برهم‌کنش سبب افزایش سرعت واکنش و شاخص پراکندگی نمونه‌ها با افزایش میزان نانوذره می‌شود.

واژه‌های کلیدی: خاک رس، سینتیک، پلیمریزاسیون رادیکالی انتقال اتم، زنجیر آزاد، زنجیر اتصال یافته

## مقدمه

در چند دهه اخیر، پلیمریزاسیون رادیکالی زنده به علت امکان تهیه پلیمرها با ساختار و وزن مولکولی کنترل شده و همچنین توزیع وزن مولکولی باریک مورد توجه قرار گرفته است. از میان روش‌های پلیمریزاسیون رادیکالی زنده، روش ATRP، به دلیل میزان حساسیت کمتر به ناخالصی‌ها و آسان بودن شرایط کاری دما و فشار، بیشتر از سایر روش‌های پلیمریزاسیون رادیکالی زنده مورد توجه

## چکیده

خاک رس اصلاح شده با اصلاح کننده دارای باند دوگانه، برای بررسی اثر محدود کننده صفحات خاک رس بر پلیمریزاسیون رادیکالی انتقال اتم (ATRP) استایرن به کار گرفته شد. زنجیرهای پلیمری آزاد و اتصال یافته به صفحات خاک رس به عنوان ابزاری برای بررسی اثر محدود کننده صفحات نانو بر پلیمریزاسیون به کار گرفته شدند. با استفاده از روش کروماتوگرافی گازی (GC)، امکان بررسی تغییرات درجه تبدیل و هم‌چنین رسم نمودار سینتیکی فراهم آمد. نمودار سینتیکی خطی حاصله، نشان دهنده طبیعت زنده پلیمریزاسیون و میزان غلظت ثابت رادیکال آزاد بود. همچنین نمودار تغییرات متوسط عددی و وزنی وزن مولکولی و شاخص پراکندگی با استفاده از روش کروماتوگرافی ژل تراوایی (GPC) مورد بررسی قرار گرفت. نمودار خطی وزن مولکولی عددی نسبت به درجه تبدیل نیز بیان گر ماهیت زنده پلیمریزاسیون بود. وزن مولکولی زنجیرهای آزاد نزدیکتر به مقدار تئوری و بالاتر از زنجیرهای اتصال یافته و نیز شاخص پراکندگی زنجیرهای آزاد پایین‌تر از زنجیرهای اتصال یافته بود. در مورد زنجیرهای آزاد، بازده شروع کننده کوچک‌تر از ۱ بوده و با افزایش میزان خاک رس وزن مولکولی بالاتری حاصل شد. زنجیرهای اتصالی، وزن مولکولی پایین‌تر داشته

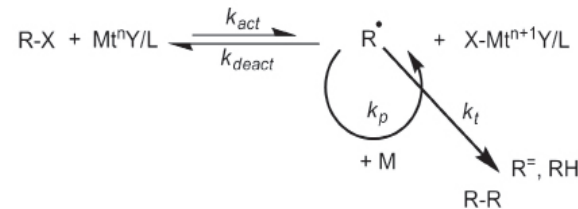
آب در پلیمریزاسیون رادیکالی انتقال اتم، باعث افزایش سرعت پلیمریزاسیون می‌شود [۳-۷].

امروزه نانولایه‌های خاک رس در ماتریس پلیمری با مقاصد متفاوتی به کار گرفته می‌شود. با توجه به اینکه حضور خاک رس غیرآلی سبب افزایش خواص حرارتی و مکانیکی پلیمر آلی می‌شود، اثرات مختلف نانولایه‌های خاک رس بر خواص پلیمر مورد تحقیق و بررسی قرار گرفته است [۸]. از آنجا که نانولایه‌های رس دارای گروه‌های عاملی بر روی صفحات خود هستند، می‌توانند در سیستمیک واکنش تاثیرگذار باشند. در مطالعات پراکنده‌ای به بررسی اثرات سیستمیکی ذرات نانو پرداخته شده است. Kim و همکارانش از روش پلیمریزاسیون امولسیونی استفاده کرده و نشان دادند که صفحات نانو اصلاح نشده مونت‌موریلونیت باعث افزایش وزن مولکولی پلیاستایرن شده و شاخص پراکنده‌گی را کاهش می‌دهند [۹].

Lee و همکارانش به نتیجه مشابهی در مورد پلیمریزاسیون متیل‌متاکریلات به روش رادیکالی در محیط امولسیون در حضور ذرات نانو دست یافتند [۱۰]. Tong و همکارانش از ساپونیت اصلاح شده به عنوان نانولایه در پلیمریزاسیون استایرن در محیط مینی امولسیون استفاده کردند که نتیجه آن کاهش وزن مولکولی و افزایش شاخص پراکنده‌گی در حضور صفحات نانو بود [۱۱]. Haimanti و همکارانش اثر افزایش نانوذرات خاک رس به عنوان یک افزودنی و همچنین افزایش زمان تورم نانوذرات با مونومر اتیل‌اکریلات را بروز نمودند [۱۲]. حاصل از روش ATRP را مورد بحث قرار دادند. ایشان با استفاده از برهم‌کنش گروه کربوکسیل موجود در بوتیل‌اکریلات و بار منفی موجود بر روی صفحات خاک رس به تبیین علل افزایش وزن مولکولی پلیمر حاصله با افزایش میزان نانوذره و زمان تورم پرداختند. Behling و همکارانش اثرات پیوندی‌افتن پلیمر به سطح ذرات نانو با روش "اتصال یافتن از ذرات نانو" را مورد بررسی قرار دادند. آن‌ها اثر میزان پیوند (دانسیته پیوند) شروع کننده ATRP را بر سیستمیک پلیمریزاسیون از روی سطوح صفحات خاک رس بررسی کردند. این گروه پژوهشی به دلیل مجاورت آسان گروه‌های شروع کننده با کاتالیست فلز انتقالی

قرار گرفته است. با استفاده از روش ATRP پلیمرهای با عاملیت‌های مختلف (عاملیت انتهای زنجیر و یا عاملیت در طول زنجیر)، پلیمرهای با ترکیب درصدهای متفاوت (همopolیمرها، کوپلیمرهای تصادفی، قطعه‌ای، گرادیانی و پیوندی) و پلیمرهای با توپولوژی متفاوت (خطی، ستاره‌ای، شاخه‌ای و شانه‌ای) و یا ترکیبی از این ساختارها قابل سترن هستند [۱].

در روش ATRP، کترل بر پلیمریزاسیون از طریق تعادل دینامیکی بین غلظت‌های زیاد مرآکز غیرفعال و غلظت‌های کم مرآکز فعال توسط انتقال اتم یا گروه حاصل می‌شود. در این روش فلز انتقالی  $Mt^nY/L$ ، که قابلیت به اشتراک گذاشتن الکترون با رادیکال هالید ناشی از شکستن شروع کننده را دارد به همراه لیگاند کمپلکس کننده  $L$  به عنوان کاتالیست ATRP شناخته می‌شود. کمپلکس فلز انتقالی  $Mt^nY/L$  مسئول شکست همگن پیوند آلکیل هالید  $R-X$  است که کمپلکس هالید فلزی مشابه با درجه اکسیداسیون بالاتر ( $XMt^{n+1}Y/L$ ) و رادیکال آلی  $R^*$  (با ثابت سرعت  $k_{act}$ ) را تشکیل می‌دهد.  $R^*$  می‌تواند با مونومر وینیلی رشد کند (kp) و یا مانند پلیمریزاسیون رادیکال آزاد معمولی از طریق تسهیم نامتناسب و یا جفت‌شدن خاتمه یابد (kt) و یا به طور عکس در موازنه با  $X-Mt^{n+1}Y/L$ ، برای تشکیل زنجیر پلیمری غیرفعال با سر هالیدی، غیرفعال شود ( $k_{deac}$ ) [۲] (شکل ۱).



شکل ۱- پلیمریزاسیون رادیکالی انتقال اتم

به دلیل تعادلی بودن واکنش فعل سازی پلیمریزاسیون رادیکالی انتقال اتم و سرعت پایین واکنش فعل سازی نسبت به واکنش غیرفعال شدن، میزان غلظت رادیکال آزاد در محیط بسیار کم است و لذا سرعت این واکنش در مقایسه با پلیمریزاسیون رادیکال معمولی کمتر است. حضور حلحلهای قطبی و یا افزودنی‌های قطبی دارای گروه‌های هیدروکسیل نظری فنول، کربوکسیلیک اسید و

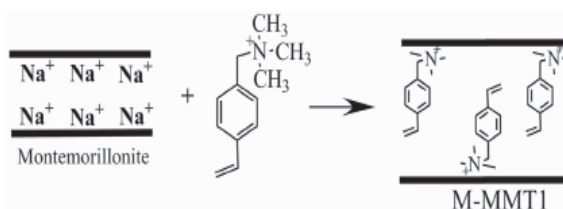
### بخش تجربی مواد

استایرن (Aldrich، ۹۹٪) را از ستون پرشده با آلومین خنثی، عبور داده و پس از خشک کردن در حضور هیدرید کلسیم تحت خلاً تقطیر شد (۳۵ mmH<sup>0</sup>C در ۶۵ °C). بر مید مس (I)، (CuBr، Aldrich، ۹۸٪)، برای حذف هرگونه اکسید کننده محلول با اسید استیک شستشو و پس از عبور از کاغذ صافی و شستشو با اتانول خشک سازی شد. خاک رس طبیعی (MMT) برای تبخیر رطوبت موجود، به مدت ۲۴ ساعت در آون خلا در دمای ۶۵ °C قرار گرفت. اتیل آلفابروموایزو بوتیرات (EBiB، Aldrich، ۹۷٪) و پتا متیل دی اتیلن تری آمین (PMDETA، Aldrich، ۹۹٪) با روشن تقطیر خالص سازی شدند. وینیل بنزیل تری متیل آمونیوم کلراید (VBC، Aldrich، ۹۹٪)، آئیسول (Aldrich، ۹۹٪)، زایلن (Aldrich، p-Xylene)، متانول (Aldrich، Methanol)، اتانول، و بر مید لیتیم (LiBr، Aldrich، ۹۹٪) نیز بدون عملیات جانبی خاصی مورد استفاده قرار گرفتند.

**پلیمریزاسیون استایرن به روشن رادیکالی انتقال اتم**  
برای تهیه پلی استایرن، ابتدا ۰/۲۸۶۹ گرم CuBr (۰/۰۰۲ مول) به عنوان کاتالیست فلز انتقالی به راکتور شیشه‌ای دوجداره افزوده شد. سپس ورودی‌های خوراک راکتور توسط درپوش‌های لاستیکی بسته شد. پس از آن محیط واکنش برای عاری سازی از اکسیژن به مدت ۳۰ دقیقه تحت جریان گاز خنثی نیتروژن قرار گرفت. ۰/۰۴ میلی لیتر مونومر استایرن (۰/۰۲ مول) به همراه ۰/۵ میلی لیتر آئیسول (استاندارد داخلی GC) به محیط واکنش اضافه و سپس در مونومر استایرن (۰/۰۱۷ میلی لیتر PMDETA (۰/۰۰۲ مول) به عنوان لیگاند با سرنگ به محیط واکنش اضافه شد. مخلوط حاصل پس از همزدن به مدت ۱۵ دقیقه به علت تشکیل کمپلکس فلز انتقالی با لیگاند (CuBr/PMDETA) به محلولی همگن با رنگ سبز روشن تبدیل گردید. سپس ۰/۰۰۲ مول شروع کننده اتیل آلفابروموایزو بوتیرات به مخلوط واکنش اضافه کرده و با رساندن دمای واکنش به ۱۱۰ °C، واکنش شروع شد.

و بالا رفتن احتمال قرار گرفتن زنجیرهای پلیمری در حالت فعال را علت افزایش سرعت پلیمریزاسیون بشمردند [۱۳]. Abdollahi و همکارانش نیز اثر نانوذرات کلوژیت B-۳۰ را بر سیستمک پلیمریزاسیون استایرن و متیل متاکریلات بررسی کردند. آنها افزایش سرعت در مورد پلیمریزاسیون متیل متاکریلات مشاهده و کاهش سرعت اندکی برای پلیمریزاسیون استایرن، گزارش شد. آنها افزایش سرعت پلیمریزاسیون متیل متاکریلات را به برهمنکش گروه هیدروکسی روی نانوکلی و گروه کربوکسی مونومر نسبت دادند [۱۴].

به نظر می‌رسد زنجیرهایی که به صفحات نانو اتصال دارند نسبت به زنجیرهای غیراتصالی که فقط حضور نانو را به عنوان یک افزودنی احساس می‌کنند، دارای رفتار متفاوتی باشند. تا کنون بررسی جامعی در مورد تفاوت سیستمکی زنجیرهای آزاد و اتصال یافته انجام نگرفته است. در این تحقیق به بررسی اتصال یافتن و یا آزاد بودن زنجیرهای پلیمری و همچنین خواص متفاوت این دو گونه زنجیر پلیمری پرداخته و اثر محدودیت خاک رس بر رشد و حتی شروع پلیمریزاسیون رادیکالی انتقال اتم، مورد مطالعه قرار گرفته است. برای این منظور از اصلاح کننده حاوی باند دوگانه در انتهای ساختار آن، برای اصلاح خاک رس معمولی استفاده شده است (شکل ۲).



شکل ۲- اصلاح خاک رس

سپس در حضور خاک رس اصلاح شده، پلیمریزاسیون رادیکالی انتقال اتم استایرن انجام شد. باند دوگانه اصلاح کننده با نفوذ شروع کننده و یا ماکرو شروع کننده به فاصله بین صفحه‌ای خاک رس و فعال شدن آن در اثر تعادل ATRP، درگیر واکنش رشد شده و زنجیر اتصال یافته حاصل می‌شود. وجود کسری از زنجیرها که در رشد آنها باند دوگانه اصلاح کننده شرکت نداشته است. این زنجیرها در مجاورت صفحات نانو حالت آزاد دارند.

عامل اصلاح‌کننده و نانوکلی طبیعی حاصل می‌شود که برابر با ۸۵ درصد می‌باشد.

نحوه جدایش نانوذرات از پلیمر اتصال یافته و غیراتصال یافته به صفحات نانو

برای جدایش پلیمر غیرچسبیده به صفحات نانو که به صورت آزاد در مجاورت صفحات قرار دارند، ابتدا مقداری از محصول تهیه‌شده را در تترابايدروفوران حل کرده و با استفاده از کاغذ صافی با قطر منفذ کمتر از ۰/۲ میکرومتر، زنجیرهای پلیمری رها از مخلوط خاک رس و پلیمر از هم جدا شد [۱۶]. برای جدایش زنجیرهای پلیمری متصل به صفحات نانو، ۲ گرم از محصول به دست آمده که تقریباً عاری از زنجیر رها می‌باشد در مخلوط زایلن و متابول به نسبت حجمی ۴ به ۱ (۱۰۰ به ۲۵ میلی‌لیتر) حل کرده و به همراه ۱/۰ گرم برمید لیتیم در یک بالن ۲۵۰ میلی‌لیتری مجهز به کندانسور به مدت ۳ ساعت تحت عمل رفلاکس قرار گرفت. سپس محصول را سانتریفیوژ و از فیلتر با قطر منفذ زیر ۰/۲ میکرومتر عبور داده شد. پس از تبخیر حلal، زنجیرهای پلیمری پیوند یافته که از صفحات نانو جدا شده‌اند، حاصل شد [۱۷].

نام‌گذاری نمونه‌های پلیمری بر اساس نحوه تهیه، میزان پراکنش نانوذره در مونومر و درصد نانوذره در جدول ۱ آورده شده است.

جدول ۱- نام‌گذاری نمونه‌ها

نام نمونه	روش تهیه	میزان خاک رس	مدت زمان اختلاط	مونومر با خاک رس
PS	ATRP	%۰	----	
PSNA 240	ATRP درجا	%۲	۴۰ ساعت	
PSNA 440	ATRP درجا	%۴	۴۰ ساعت	
PSNA 840	ATRP درجا	%۸	۴۰ ساعت	

#### تعیین مشخصات

برای تعیین میزان درجه تبدیل و هم‌چنین رسم نمودار سیتیکی از روش کروماتوگرافی گازی (N-GC, Agilent) استفاده شد. بدین صورت که در زمان‌های متفاوت نمونه‌هایی

پلیمریزاسیون استایرن به روش رادیکالی انتقال اتم در حضور نانولایه خاک رس

خاک رس اصلاح‌شده (۲، ۴ و ۸ درصد وزنی نسبت به مونومر) به میزان دلخواه که با مونومر استایرن (۲۳/۰۴ میلی‌لیتر، ۰/۰۲ مول) به مدت زمان مناسب متورم شده بود به راکتور دوجداره شیشه‌ای افزوده شد. سپس ۰/۲۸۶۹ گرم CuBr (۰/۰۰۲ مول) به مخلوط راکتور اضافه شد. بقیه مراحل آزمایش مطابق با فرایند معمولی تهیه پلی استایرن به روش ATRP است.

تهیه خاک رس اصلاح‌شده با واکنش تعویض یونی با اصلاح‌کننده آمونیومی

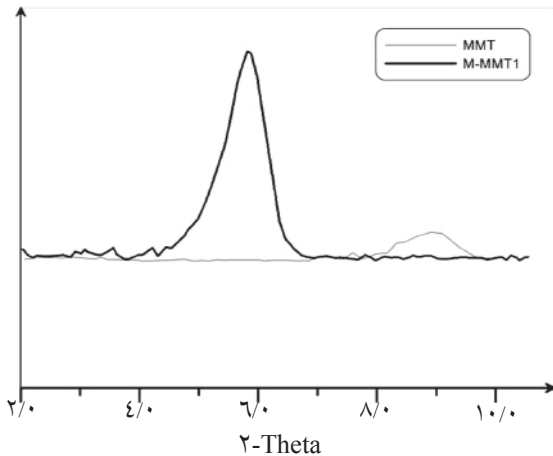
برای اصلاح سطح صفحات خاک رس طبیعی از وینیل بنزیل تری متیل آمونیوم کلراید (VBC) با وزن مولکولی ۲۱۱/۷۳ g/mol به عنوان نمک آمونیوم استفاده شد. میزان اصلاح‌کننده به کار رفته با استفاده از معادله ۱ محاسبه می‌شود [۱۵]:

$$(1) CEC\ value \times X\ gr\ clay \times 1.2 = Y / M_w\ (agent) \times 1 \times 1000$$

در این معادله، CEC value همان ظرفیت تعویض یونی ۱۰۰ گرم از نانوکلی است که مقداری برابر با ۹۲ mEq/۱۰۰ g دارد. X، میزان خاک رس مورد استفاده و Y، میزان اصلاح‌کننده بر حسب گرم است. برای به کار بردن مقدار بیش از میزان اصلاح‌کننده حاصل از محاسبات اکی والانی از ضریب ۱/۲ در سمت چپ معادله استفاده می‌شود.

برای تهیه نمونه ۱، ابتدا ۴/۵ گرم خاک رس در مقدار ۲۰۰ میلی‌لیتر آب قطر تا رسیدن به سوسپانسیون تقریباً یکنواختی (به مدت ۲ ساعت) در یک بالون ۲۵۰ میلی‌لیتری به هم‌زده شد و سپس در بالن هماندازه دیگری ۱/۰۵۲ گرم از عامل اصلاح‌کننده VBC در ۲۰۰ میلی‌لیتر اتانول کاملاً حل شد. محتویات دو بالن در بالن دیگری مخلوط و به مدت ۲۴ ساعت توسط همزن مغناطیسی به هم‌زده شد. محصول به دست آمده بعد از فیلتر کردن ۳ بار با اتانول شستشو شد و در نهایت برای دستیابی به خاک رس خشک به مدت ۲۴ ساعت در آون خلا با دمای ۶۰°C قرار گرفت. میزان خالص نانوکلی اصلاح‌شده برابر ۴/۷۵ گرم می‌باشد. بازده این واکنش تعویض یونی از طریق تقسیم وزن نانوکلی اصلاح‌شده بر مجموع وزن

بین صفحه‌های نانوکلی می‌باشد که باعث افزایش فاصله بین صفحه‌ای مونت‌موریلونیت خالص شده است (تغییر زاویه تفرق اشعه ایکس از  $9^{\circ}$  به  $5^{\circ}/8$  درجه در مورد خاک رس اصلاح شده است).



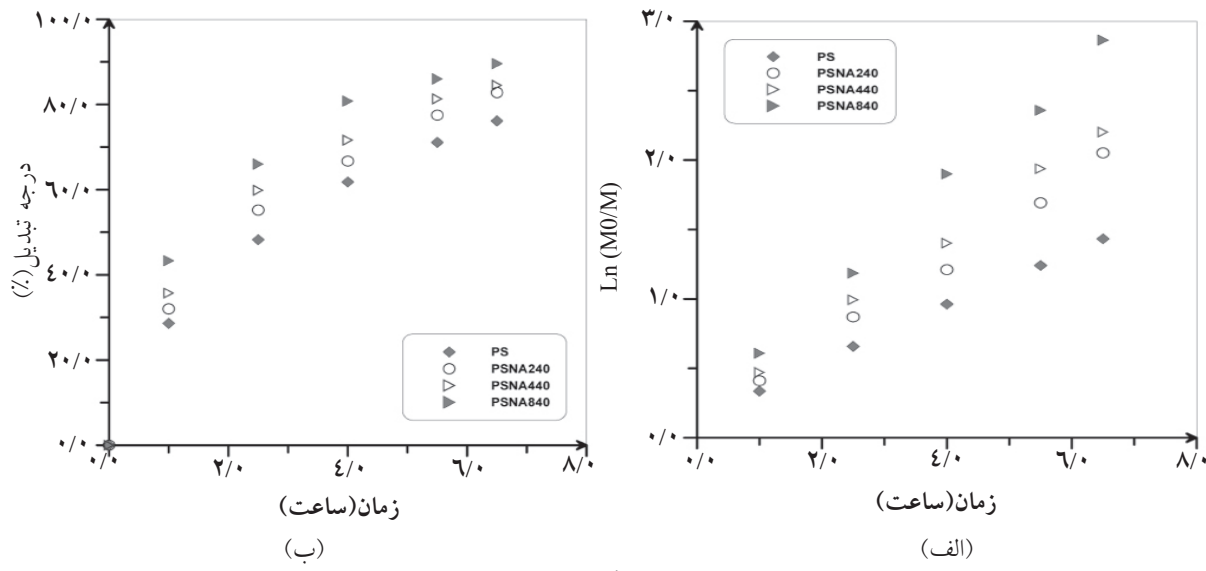
شکل ۳- نمودار XRD مونت‌موریلونیت خالص و اصلاح شده

شکل ۴، نمودار مربوط به درصد تبدیل و نمودار سیتیکی است. مطابق با نتایج در حالت کلی حضور نانوذره خاک رس باعث افزایش سرعت پلیمریزاسیون شده است. در حقیقت ذره نانو، نقش کاتالیستی در واکنش پلیمریزاسیون در مورد زنجیرهای آزاد را دارد. دلیل چنین امری برهم‌کش بار منفی صفحات خاک رس در اثر وجود گروههای هیدروکسیل و هم‌چنین گروههای اکسیژن با حلقه فنیل استایرن است. چنین اثر فزاینده سرعت پلیمریزاسیون استایرن [۹] برای مونومرهای دیگری نظیر بوتیل اکریلات [۱۲ و ۱۸] نیز گزارش شده است. اما در موردی که پلیمریزاسیون شروع شونده در روی سطح وجود دارد، نانوذره خاک رس باعث کاهش سرعت پلیمریزاسیون می‌شود زیرا شروع کننده چسییده به صفحات خاک رس در اثر تجمع صفحات خاک رس عملاً غیرفعال می‌شود و در نتیجه با کاهش کسری از شروع کننده که امکان شروع زنجیر فعل و رشد کننده را دارد، سرعت پلیمریزاسیون کاهش می‌یابد [۱۹]. با افزایش میزان نانوذره، روند افزایش میزان درصد تبدیل و همچنین افزایش شبکه نمودار سیتیکی بهوضوح دیده می‌شود. خطی بودن نمودار نیمه‌لگاریتمی سیتیکی از خصلت‌های سیستم پلیمریزاسیون رادیکالی زنده است.

از محتويات راکتور گرفته شده و با روش کروماتوگرافی گازی، میزان استایرن واکنش نداده (مونومر موجود در محیط) آن اندازه‌گیری شد و میزان درجه تبدیل از تقسیم غلظت مونومر تبدیل شده به پلیمر بر غلظت اولیه مونومر به دست آمد. برای تعیین متوسط عددی و وزنی وزن مولکولی و توزیع آن از روش کروماتوگرافی ژلتراوایی (Agilent ۱۱۰۰) آن با آشکارگر بر اساس شاخص شکست استفاده شد. ستون‌های مورد استفاده به صورت سری به هم وصل شدند ( $10\text{ }\mu\text{m}$ ,  $500\text{ \AA}$ ,  $1000\text{ \AA}$ ,  $10000\text{ \AA}$ ). ماده مرجع، پلیاستایرن استاندارد بوده و حلال مورد نظر تتراهیدروفوران با دبی ۱ میلی لیتر بر دقیقه در دمای  $30^{\circ}\text{C}$  بود. از آنجایی که نمونه‌های خروجی از راکتور دارای میزان زیادی کمپلکس فلز انتقالی مس هستند، برای جلوگیری از آسیب‌دیدن ستون‌های دستگاه GPC و هم‌چنین جلوگیری از خطای احتمالی، خارج‌سازی یون مس از نمونه‌ها ضروری است، بنابراین زنجیرهای آزاد و چسییده را در حلال زایلن حل و از ستون سیلیکا آلومین خنثی عبور داده شدند. بدین ترتیب یون مس جذب ستون شده و محلول پلیاستایرن در زایلن از ستون خارج شد. در مورد نمونه‌های حاوی نانوذره، نمونه‌های تهیه شده در حلال زایلن حل و بعد از جدایش ذرات کاتالیست، فلز انتقالی مس توسط ستون آلومینا تحت اولتراسانتریفیوژ با سرعت بالا قرار گرفت. سپس با صاف کردن نمونه حاصل توسط فیلتر با قطر منفذ کمتر از  $0.2\text{ }\mu\text{m}$ ، صفحات نانوکلی از ماتریس پلیمر جدا شد. طیف FTIR با استفاده از دستگاه Bomem FTIR-Spectrophotometer در محدوده طول موج  $4000\text{--}1400\text{ cm}^{-1}$  به دست آمد و به طور متوسط برای هر نمونه ۸ بار اسکن انجام شد. برای آزمایش فوق، نمونه‌ها با استفاده از پخش‌شدن پودر پلیمر در قرص KBr و سپس قرار گرفتن در تحت فشار  $0.01\text{ torr}$ ، حاصل شدند.

## نتایج و بحث

در شکل ۳ مشاهده می‌شود که نمونه نانوکلی<sup>۱</sup> اصلاح شده در زاویه تفرق کمتر نسبت به مونت‌موریلونیت خالص، دارای پیک تفرق است. دلیل چنین امری جایگزینی مولکول‌های اصلاح کننده به جای یون سدیم موجود در



شکل ۴- تغییرات نمودار سیتیکی نیمه‌لگاریتمی (الف)، درجه تبدیل با زمان (ب)

ذکر است که در مورد نمونه‌های با نانوذره بالای ۴٪ وزنی، نمونه‌ر بر علت عدم امکان انجام محاسبات سیتیکی در اثر بالا بودن ویسکووزیته محیط واکنشی در مورد نمونه آخر از مقداری حلال بی‌اثر آنیسول برای رقیق‌سازی محیط واکنش استفاده شده است.

همان‌گونه که در نمودارهای شکل ۲ مشاهده می‌شود، نمودارهای سیتیکی که همان میزان مصرف نمونه بر حسب زمان را به صورت نیمه‌لگاریتمی نشان می‌دهند ( $\ln(M_0/M)$  بر حسب زمان)، خطی هستند. شبیه این نمودارها از روی معادله ۲ به دست می‌آیند [۲۰].

$$\ln(M_0/M) = \frac{k_p K_{ATRP} [P_n - X] [Cu^I]}{[Cu^{II}]} t = k_{app} t \quad (2)$$

در این معادله  $M_0$  و  $M$  به ترتیب غلظت اولیه و غلظت در لحظه  $t$  نمونه و  $[Cu^{II}]$ ،  $[Pn-X]$ ،  $[CuI]$  و  $[Pn]$  به  $k_p$  ثابت انتقالی در پایین‌ترین حالت اکسایشی و غلظت فلز انتقالی در بالاترین حالت اکسایشی و غلظت گونه غیرفعال‌کننده و فعلی‌کننده می‌باشد.  $k_p$  ثابت سرعت رشد و  $K_{ATRP}$  ثابت تعادل واکنش  $M_0$  باشد.  $k_{app}$  ثابت سرعت ظاهری بوده و به دلیل ثابت بودن تعدادی از متغیرهای معادله و نیز بر اساس واکنش تعادل پلیمریزاسیون رادیکالی انتقال اتم تعریف می‌شود.

ثوابت سرعت ظاهری برای نمونه‌های تهیه شده در جدول ۲ آورده شده است. این ثابت‌های سرعت که از روی شبیه نمودار نیمه‌لگاریتمی تغییر غلظت نمونه محاسبه شده است، می‌تواند بیانگر سرعت پلیمریزاسیون باشد و لذا  $k_{app}$  به صورت مستقیم از روی شبیه نمودار به دست می‌آید. همان‌طور که از داده‌های جدول ۲ بر می‌آید افزایش میزان نانوذره باعث افزایش  $k_{app}$  می‌شود. لازم به

جدول ۲- نتایج سیتیکی حاصل از GC

درصد افزایش		$k_{app} \times 10^{-5} (\text{s}^{-1})$	نام نمونه
نسبت به نمونه PS	نسبت به نمونه ماقبل		
----	----	۱۹/۷	PS
۷/۵	۷/۵	۲۷/۲	PSNA 240
۱۲/۳	۴/۸	۳۲/۰	PSNA 440
۲۲/۹	۱۰/۶	۴۲/۶	PSNA 840

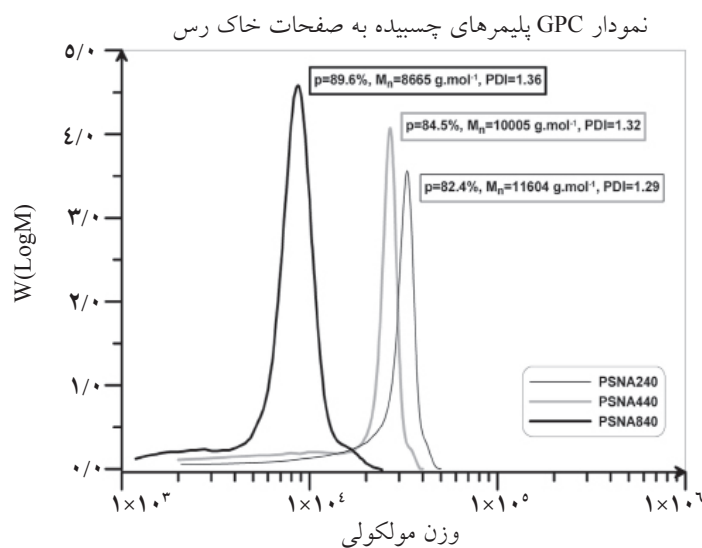
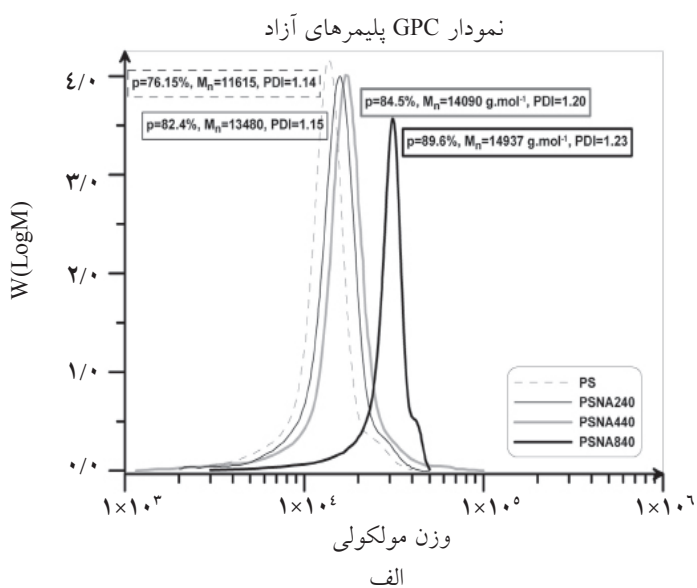
بر اساس داده‌های حاصل از آزمایش کروماتوگرافی ژل تراوایی، امکان محاسبه وزن مولکولی متوسط عددی، وزن مولکولی متوسط وزنی و همچنین شاخص پراکندگی نمونه‌های پلیمری فراهم می‌شود. در محاسبه وزن مولکولی به صورت تئوری، به دست آوردن درجه تبدیل ضروری است، لذا وزن مولکولی عددی تئوری از طریق داده‌های آزمون کروماتوگرافی گازی به دست می‌آید. وزن مولکولی تئوری از معادله  $3$  به دست می‌آید (با توجه به اینکه درجه پلیمریزاسیون نهایی در فرایندهای پلیمریزاسیون زنده از

وزن مولکولی اصلاح کننده (۲۱۱/۷۳ گرم بر مول) است. در شکل ۵، نمودارهای توزیع وزن مولکولی محصول نهایی تهیه شده نشان داده شده است. با توجه به نتایج کلیه نمونه های سنتزی، توزیع وزن مولکولی باریک دارند که نشان از کنترل بهینه بر سیستم پلیمریزاسیون زنده به وزن مولکولی، می توان به متوسط عددی پلیمر حاصله دست یافت).

نسبت مونومر به شروع کننده به دست می آید و همچنین نمودار وزن مولکولی بر حسب درصد تبدیل خطی است که با افزودن وزن اصلاح کننده به وزن مولکولی حاصل از پلیمریزاسیون زنده به وزن مولکولی، می توان به متوسط عددی پلیمر حاصله دست یافت).

$$M_n^{Theo} = \frac{[M]_0}{[I]_0} \times p \times M_0 + M_m \quad (3)$$

در معادله فوق  $[M]_0$  و  $[I]_0$  به ترتیب غلظت اولیه مونومر و شروع کننده می باشند.  $p$  درجه تبدیل و  $M_0$  وزن مولکولی واحد تکراری پلیمر مورد نظر (در مورد استایرین این مقدار برابر  $104/15$  گرم بر مول می باشد) و



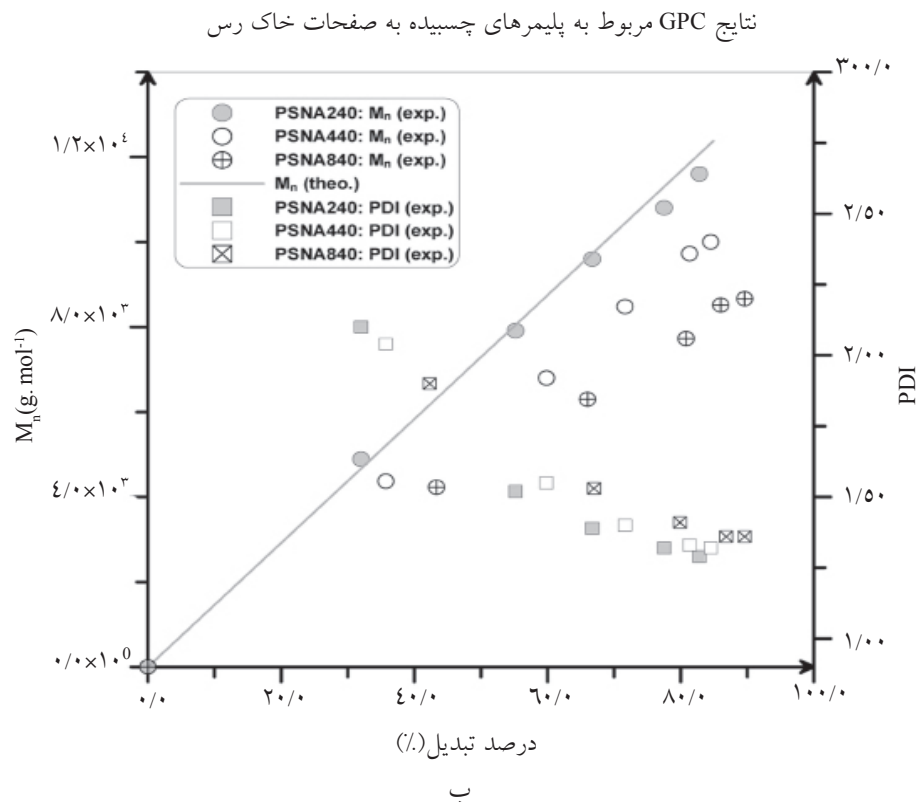
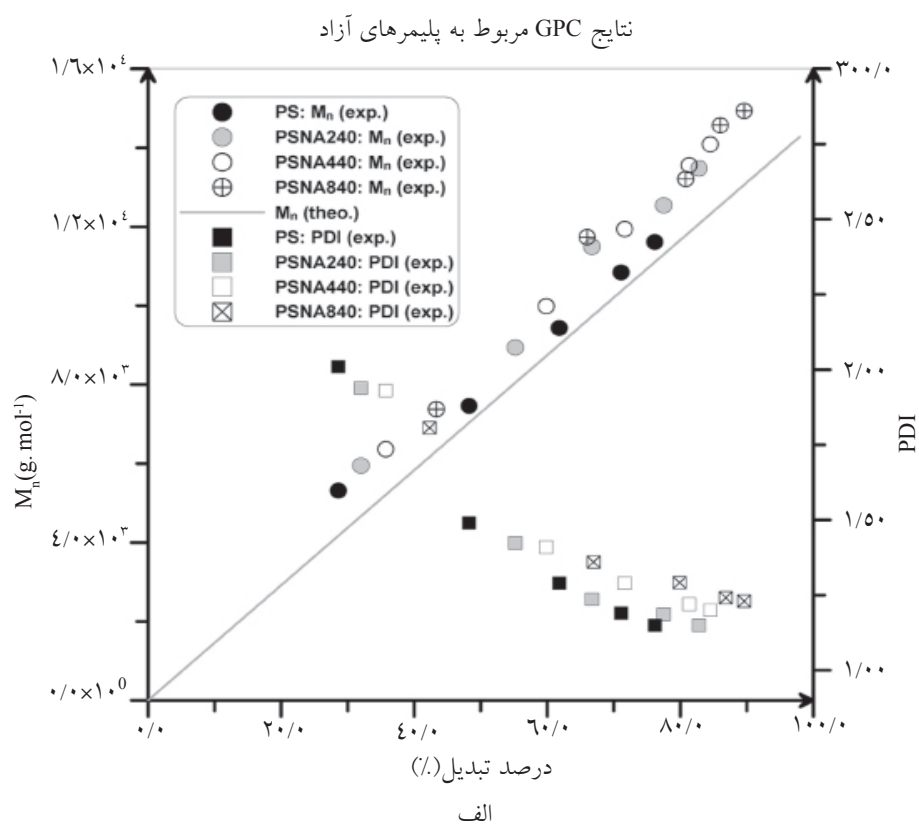
شکل ۵- نمودار توزیع وزن مولکولی نمونه پلی استایرن و زنجیرهای آزاد نمونه های پلیمری حاوی نانوذره (الف)، زنجیرهای چسبیده به صفحات خاک رس (ب)

دلیل حمل کردن نانو ذره نیز می‌تواند دلیل دیگری برای عدم شرکت سریع این گونه‌ها در فرایند فعال‌سازی باشد. اما وزن مولکولی نمونه‌های پلیمری استخراج شده از نمونه‌های پلیمری در حضور ذرات نانو، وزن مولکولی بالاتری از نمونه پلیمری خالص دارند و با افزایش میزان نانو ذره، میزان وزن مولکولی محصول افزایش یافته است. لذا با افزایش نانو ذره نه تنها پلیمریزاسیون کند یا بازداشت نمی‌شود بلکه نانو ذره مانند کاتالیست عمل می‌کند و وزن مولکولی بالا می‌رود. از طرفی به دلیل اینکه نانو ذره یک ناخالصی در محیط پلیمریزاسیون است، بالا رفتن شاخص پراکندگی و در نتیجه پهن شدن توزیع وزن مولکولی را سبب می‌شود. پس حضور نانو ذره تا حد بسیار کمی از خصلت زنده پلیمریزاسیون نسبت به پلیمریزاسیون خالص استایرن می‌کاهد. کاهش بازده شروع کننده با افزایش میزان نانو ذره نیز مؤید این مطلب است. مشاهده می‌شود که روند افزایشی شاخص پراکندگی در نتیجه روند کاهشی بازده شروع کننده است و هم‌چنین علی‌رغم حضور ناخالصی نانو ذره بازهم شرایط ستتر پلیمر با ساختار مولکولی و وزن مولکولی معین در اثر ایجاد شرایط پلیمریزاسیون زنده تا حدود بسیار بالای فراهم است. خطی بودن نمودار متوسط عددی وزن مولکولی بر حسب درصد تبدیل از خصوصیات پلیمریزاسیون زنده می‌باشد. نمودار وزن مولکولی بر حسب زمان تا حد زیادی خطی است که نشان‌دهنده کنترل بهینه بر پلیمریزاسیون است.

در مورد نمونه‌های حاوی نانو ذره بالاتر به نظر می‌رسد پیک مزبور واضح‌تر است. دلیل چنین امری القای بار منفی توسط نانو ذره به محیط پلیمریزاسیون است که باعث بالا رفتن سرعت رشد و در نتیجه تا حدودی خارج‌شدن سیستم پلیمریزاسیون از حالت زنده نسبت به نمونه‌های با درصد کمتر نانو ذره است. جدول ۳، وزن‌های مولکولی و شاخص پراکندگی نمونه‌های پلیمری پیوندیافته و آزاد را نشان می‌دهد. در مورد نمونه‌های غیرپیوندی، ارتباط مناسب بین متوسط عددی وزن مولکولی تجربی و تئوری و به تبع آن بازده بالای شروع کننده، نشان‌دهنده کنترل مناسب بر پلیمریزاسیون و برقراری شرایط مناسب برای زنده بودن پلیمریزاسیون است. بازده شروع کننده از تقسیم وزن مولکولی تئوری بر وزن مولکولی تجربی به دست می‌آید. نتایج حاصل از آزمون GPC در شکل ۶ آورده شده است. همان‌طور که از نتایج بر می‌آید وزن مولکولی زنجیرهای اتصال‌یافته وزن مولکولی پایین‌تر از وزن مولکولی زنجیرهای آزاد است، زیرا در فاصله بین صفحه‌ای نانو ذرات رس باستی نفوذ گونه‌های غیرفعال با طول بالا مردود دانست و لذا گونه‌های غیرفعال با طول کمتر نفوذ کرده و سپس برای افزایش وزن مولکولی گونه غیرفعال نیاز به نفوذ مونومر و هم‌چنین فعال کننده می‌باشد که به دلیل زمانبند بودن، پدیده نفوذ وزن مولکولی گونه‌های اتصال‌یافته به صفحات نانو خاک رس کمتر از مورد مشابه غیرپیوندی می‌باشد. تحرک کمتر زنجیرهای اتصال‌یافته به

جدول ۳- نتایج حاصل از GPC

زنگیر آزاد	زنگیر چسبیده	بازده شروع کننده		شاخص پراکندگی		متوسط وزنی وزن مولکولی ( $\text{g} \cdot \text{mol}^{-1}$ )		متوسط عددی وزن مولکولی ( $\text{g} \cdot \text{mol}^{-1}$ )		درصد تبدیل	زمان واکنش (min)	نام نمونه			
		زنگیر آزاد	زنگیر چسبیده	تجربی		تجربی		تجربی	تجربی						
				زنگیر آزاده	زنگیر چسبیده	زنگیر آزاده	زنگیر چسبیده								
۰/۹۷	----	۱/۱۴	----	۱۳۲۴۲	----	۱۱۶۱۵	----	۱۱۳۱۴	۷۷/۱۵	۲۷۰		PS			
۰/۹۱	۱/۰۵	۱/۱۵	۱/۲۹	۱۵۵۰۲	۱۴۹۶۹	۱۳۴۸۰	۱۱۶۰۴	۱۲۲۸۴	۸۲/۴	۲۷۰		PSNA 240			
۰/۸۹	۱/۲۵	۱/۲۰	۱/۳۲	۱۶۹۰۸	۱۳۲۲۹	۱۴۰۹۰	۱۰۰۰۵	۱۲۵۳۲	۸۴/۵	۲۷۰		PSNA 440			
۰/۸۹	۱/۰۳	۱/۲۳	۱/۳۶	۱۸۳۷۳	۱۱۷۸۴	۱۴۹۳۷	۸۶۶۵	۱۳۲۷۵	۸۹/۶	۲۷۰		PSNA 840			



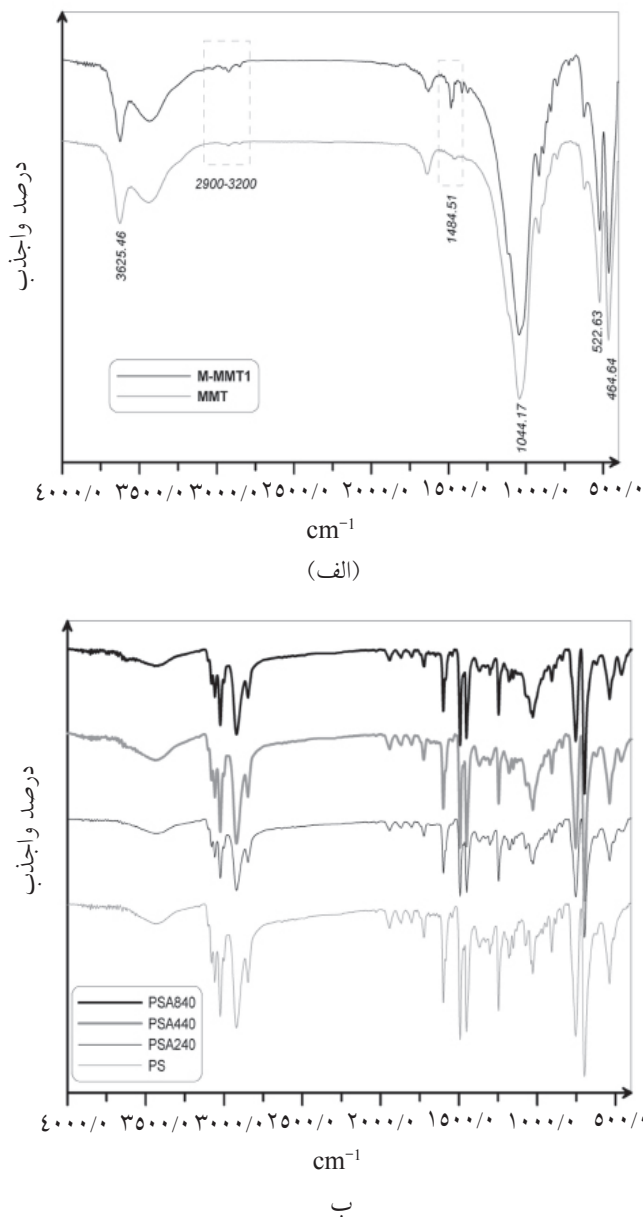
شکل ۶- نمودار وزن مولکولی عددی و شاخص پراکندگی نمونه پلی استایرن و زنجیرهای آزاد نمونه های پلیمری حاوی نانوذره (الف)، زنجیرهای چسبیده به صفحات خاک رس (ب)

متورم شده و به عبارتی دیگر اصلاح کننده نمک آمونیومی به صورت یونی به صفحات نانوکلی چسبیده است. پیک مربوط به پیوند Si-O در عدد موجی حدود  $1045\text{ cm}^{-1}$  و پیک مربوط به پیوند Al-O در عدد موجی حدود  $64\text{ cm}^{-1}$  و هم‌چنین پیک مربوط به باند هیدروکسیل در عدد موجی حدود  $3625\text{ cm}^{-1}$  با جایگزینی اصلاح کننده هیچ‌گونه تغییر قابل ملاحظه‌ای نشان نمی‌دهد، لذا اصلاح کننده برهم‌کنشی مشابه با یون سدیم با صفحات نانوکلی ایجاد کرده است و این نشان از جایگزینی مناسب اصلاح کننده به جای یون سدیم دارد. شکل ۵ (ب)، طیف FTIR نمونه خالص پلیمری و هم‌چنین نمونه‌های پلیمری در حضور ذرات نانو رس در شرایط گوناگون را نشان می‌دهد.

پیک مربوط به عدد موجی  $2900 - 3200\text{ cm}^{-1}$  مربوط به نوسان باند C-H غیراشباع حلقه فنیل استایرن است. هم‌چنین نوسان خارج از صفحه حلقه فنیل در حدود اعداد موجی  $697$  و  $598\text{ cm}^{-1}$  مشاهده می‌شود. نوسانات مربوط به پیوند O-H نانوذره خاک رس در حدود عدد موجی  $3625\text{ cm}^{-1}$  ملاحظه می‌شود. در نمونه‌های پلیمری در حضور ذرات نانو مشاهده می‌شود که این پیک تا حدودی جابجایی به سمت اعداد موجی بالاتر دارد که این امر در نتیجه برهم‌کنش گروه O-H نانوذره خاک رس با توده الکترونی حلقه فنیل پلی‌استایرن است. در مورد نمونه با میزان پایین نانوکلی، این پیک قابل محاسبه نیست. نوسانات مربوط به باند Si-O نانوذره خاک رس در حدود عدد موجی  $1044\text{ cm}^{-1}$  ملاحظه می‌شود. در نمونه‌های پلیمری در حضور ذرات نانو مشاهده می‌شود که این پیک تا حدودی جابجایی به سمت اعداد موجی پایین‌تر دارد. به طوری که عدد موجی  $1032\text{ cm}^{-1}$  مشخصه این باند در نمونه‌های پلیمری در حضور ذرات نانو می‌باشد. این امر نیز می‌تواند در نتیجه برهم‌کنش گروه Si-O نانوذره خاک رس با توده الکترونی حلقه فنیل پلی‌استایرن باشد. حضور پیک در محدوده عدد موجی  $755\text{ cm}^{-1}$  که موید حضور باند C-Br است، نشان‌دهنده طبیعت زنده انتهای زنجیری می‌باشد. با استفاده از خاصیت زنده زنجیر (حضور باند C-Br) است که امکان سنتز کوپلیمر قطعه‌ای، پیوندی، شاخه‌ای، ستاره‌ای و ... فراهم می‌شود.

در مورد زنجیرهای پلیمری پیوندیافته، علاوه بر پایین بودن وزن مولکولی در مقایسه با نمونه پلی‌استایرن خالص، توزیع وزن مولکولی نیز پهن‌تر از نمونه‌های غیرپیوندی است. دلیل چنین امری ایجاد رقابت بین زنجیرهای پیوندیافته در گرفتن مونومر و هم‌چنین فرایند فعال‌سازی است. به علت سرعت کم نفوذ مونومر در مراحل اولیه واکنش به دلیل فاصله بسیار کم بین صفحات نانو، زنجیرهای پیوندی نزدیک به لبه‌های نانوذره زودتر از زنجیرهای پیوندیافته به مرکز نانوذره مونومر ورودی را جذب کرده و لذا باعث بالا بودن توزیع وزن مولکولی در مورد نمونه‌های پیوندیافته می‌شوند [۱۹]. بدیهی است که زنجیرهای پیوندیافته نزدیک به توده پلیمریزاسیون به دلیل امکان بالای جذب شروع‌کننده و مونومر باستی چنین رفتاری را نشان دهند. در مورد تمامی نمونه‌های سنتزشده به دلیل از بین رفتان اختلاف اولیه بین طول زنجیرها با افزایش طول زنجیرها به صورت یکنواخت (در مورد زنجیرهای اتصال‌یافته به دلیل بازشدن فاصله بین صفحات نانو و نیز به دلیل رشد زنجیرهای اتصال‌یافته بحث رقابت از بین می‌رود) توزیع وزن مولکولی با گذر زمان باریکتر شده و محصول با خواص زنده بالاتر به دست می‌آید. بازده شروع‌کننده بالای ۱، نشان‌دهنده عدم پیشرفت متعادل پلیمریزاسیون به دلیل عوامل بازدارنده می‌باشد. در این کار تحقیقی، زنجیرهای رشدیافته به دلیل اثر محدودیت فضایی صفحات خاک رس امکان رشد عادی را نداشت و لذا زنجیرهای با بازده شروع‌کننده بالای ۱ را نتیجه می‌دهند. با افزایش میزان نانوذره و به تبع آن افزایش محدودیت فضایی بیشتر، وقتی زنجیر اتصال‌یافته امکان رشد معمولی را به دلیل عدم دسترسی مونومر ندارد، افزایش بازده شروع‌کننده از مقدار واحد نیز بیشتر می‌شود.

شکل ۷ (الف)، نتایج آزمون FTIR در مورد خاک رس طبیعی و اصلاح‌شده را نشان می‌دهد. همان‌گونه که از نتایج بر می‌آید، تمامی پیک‌های مشخصه دو نمونه مشابه هم بوده و فقط در عدد موجی  $1484/15\text{ cm}^{-1}$  نمونه مونت‌موریلوئیت اصلاح‌شده، دارای پیک تفرق است که مربوط به پیوند شیمیایی پیوند دوگانه کربن-کربن است و نشان می‌دهد که نانو خاک رس توسط عامل اصلاح‌کننده تا حدودی



شکل ۷ - طیف FTIR خاک رس معمولی و اصلاح شده (الف)، نمونه های پلیمری (ب)

نمونه های پلی استایرن آزاد استخراج شده از نمونه های پلیمریزه شده در حضور ذرات نانو، بیشتر از نمونه پلیمری خالص است و با افزایش میزان نانوذره میزان وزن مولکولی پلی استایرن آزاد افزایش می یابد. همچنین نانوذره باعث بالا رفتن شاخص پراکندگی و در نتیجه پهن شدن توزیع وزن مولکولی زنجیرهای پلی استایرن آزاد شد. در مورد زنجیرهای اتصال یافته به صفحات خاک رس، افزایش خاک رس باعث کاهش وزن مولکولی و افزایش شاخص پراکندگی شد. علاوه بر این میزان بالای بازده شروع کننده زنجیرهای اتصال یافته میان رشد غیرعادی و بسیار کند

**نتیجه گیری**  
زنجیرهای پلی استایرن اتصال یافته به صفحات نانو و همچنین زنجیرهای آزاد پلی استایرن با استفاده از روش پلیمریزاسیون رادیکالی انتقال اتم در حضور خاک رس اصلاح شده با اصلاح کننده حاوی باند دوگانه سنتر شد. حضور ذره نانو در واکنش پلیمریزاسیون نقش کاتالیستی داشته و باعث افزایش سرعت پلیمریزاسیون می شود. نمودار نیمه لگاریتمی سیتیکی همواره به صورت خطی است و با افزایش میزان نانوذره افزایش شب نمودار مزبور و در نتیجه افزایش  $k_{app}$  ملاحظه می شود. وزن مولکولی

$GC$ : کروماتوگرافی گازی  
 $GPC$ : کروماتوگرافی ژل تراوایی  
 $R-X$ : شروع کننده  
 $k_{act}$ : ثابت سرعت واکنش شروع در  $ATRP$   
 $k_{deact}$ : ثابت سرعت واکنش غیرفعال سازی رادیکالهای آزاد اولیه در  $ATRP$   
 $K_{eq}$ : ثابت تعادل واکنش پلیمریزاسیون رادیکالی انتقال اتم  
 $k_p$ : ثابت سرعت واکنش انتشار  
 $k_t$ : ثابت سرعت اختتام به روش ترکیب  
 $Mt^nY/L$ : کمپلکس فلز انتقالی در حالت اکسایش پایین  
 $X-Mt^{n+1}Y/L$ : کمپلکس فلز انتقالی در حالت اکسایش بالا  
 $M_n$ : متوسط عددی وزن مولکولی  
 $M_w$ : متوسط وزنی وزن مولکولی  
 $ml$ : میلی لیتر  
 $mol$ : مول  
 $PDI$ : شاخص پراکنده  
 $PMDETA$ : پنتمتیل دی اتیلن تری آمین  
 $R^*$ : رادیکال آزاد اولیه  
 $XRD$ : تفرق پرتو ایکس

زنجیرهای اتصالی در اثر محدودیت فضایی صفحات خاک رس است. وجود شانه‌های باریک در نمودار توزیع وزن مولکولی موید میزان بسیار کم واکنش‌های اختتام از نوع ترکیب بود که با افزایش میزان نانولایه شدت این پیک افزایش یافت. پیک FTIR مربوط به پیوند O-H و باند Si-O نانوذره خاک رس در نمونه‌های پلیمری در حضور ذرات نانو تا حدودی جابجایی نشان می‌دهند که موید برهم‌کنش گروه O-Si-O و O-H نانوذره خاک رس با توجه الکترونی حلقه فنیل پلی استایرن می‌باشد که دلیل اصلی افزایش سرعت کلی پلیمریزاسیون می‌باشد. حضور پیک در  $C-Br 755 \text{ cm}^{-1}$  که موید حضور باند است، نشان‌دهنده طبیعت زنده انتهای زنجیری می‌باشد.

### علائم و نشانه‌ها

$ATRP$ : پلیمریزاسیون رادیکالی انتقال اتم  
 $P$ : درصد تبدیل واکنش  
 $CRP$ : پلیمریزاسیون رادیکالی کنترل شده  
 $EBiB$ : اتیل آلفا برموایزو بوتیرات  
 $FTIR$ : پرتو ماورای بنفش انتقال فوریه

### منابع

- [1] Jakubowski W. & Matyjaszewski K., "Activator generated by electron transfer for atom transfer radical polymerization", *Macromolecules*, Vol. 38, pp. 4139- 4146, 2005.
- [2] Patten T. & Matyjaszewski K., "Atom transfer radical polymerization and the synthesis of polymeric materials", *Adv. Mater.*, Vol. 10, pp. 901-915, 1998.
- [3] Wang X.S., Luo N. & Ying S.K., "Controlled/living polymerization of MMA promoted by heterogeneous initiation system (EPN-X-CuX-bpy)", *J. Polym. Sci., Part A: Polym. Chem.*, Vol. 37, pp. 1255, 1999.
- [4] Matyjaszewski K., Nakagawa Y. & Jasieczek C.B., "Polymerization of *n*-Butyl Acrylate by atom transfer radical polymerization. remarkable effect of ethylene carbonate and other solvents", *Macromolecules*, Vol. 31, pp. 1535-1541, 1998.
- [5] Haddleton D.M., Heming A.M., Kukulji D., Duncalf D.J. & Shooter A.J., "Atom transfer polymerization of methyl methacrylate. effect of acids and effect with 2-Bromo-2-Methylpropionic acid initiation", *Macromolecules*, Vol. 31, pp. 2016-2018, 1998.
- [6] Wang X.S. & Armes S.P., "Facile atom transfer radical polymerization of Methoxy-Capped oligo (ethylene glycol) methacrylate in aqueous media at ambient temperature", *Macromolecules*, Vol. 33, pp. 6640-6647, 2000.
- [7] Chatterjee U., Jewrajka S.K. & Mandal B.M., "The beneficial effect of small amount of water in the ambient

- temperature atom transfer radical homo and block co-polymerization of methacrylates”, Polymer, Vol. 46, pp. 1575-1582, 2005.*
- [8] Ray S. & Okamoto M., “*Polymer/layered silicate nanocomposites: a review from preparation to processing”, Prog. Polym. Sci., Vol. 28, pp. 1539–1641, 2003.*
- [9] Tae H. Kim, Lee W. Jang, Dong C. Lee, Hyoung J. Choi, & Myung S. Jhon, “*Synthesis and rheology of Intercalated polystyrene/ Na+-montmorillonite nanocomposites”, Maromol. Rapid Commun., Vol. 23, pp. 191-195, 2002.*
- [10] D.C. Lee & L.W. Jang, “*Preparation and characterization of PMMA-Clay hybrid composite by emulsion polymerization”, J. Appl. Polym. Sci., Vol. 61, pp. 1117, 1996.*
- [11] Zhaohui Tong & Yulin Deng, “*Kinetics of miniemulsion polymerization of styrene in the presence of organo-clays”, Macromol. Mater. Eng., Vol. 293, pp. 529–537, 2008.*
- [12] Haimanti D., Nikhil S. & Anil B., “*Beneficial effect of nanoclay in atom transfer radical polymerization of ethyl acrylate: a one pot preparation of Tailor-Made polymer nanocomposite”, Macromolecules, Vol. 41, pp. 50-57, 2008.*
- [13] Behling R.E., Williams B.A., Staade B.L., Wolf L.M. & Cochran E.W., “*Influence of graft density on kinetics of Surface-Initiated ATRP of polystyrene from montmorillonite”, Macromolecules, Vol. 42, pp. 1867-1872, 2009.*
- [14] Abdollahi M. & Semsarzadeh M.A., “*Effect of nanoclay and macroinitiator on the kinetics of atom transfer radical Homo- and copolymerization of styrene and methyl methacrylate initiated with  $\text{CCl}_3$ -Terminated poly (Vinyl Acetate) macroinitiator”, European Polymer Journal, Vol. 45, pp. 985-995, 2009.*
- [15] Yeh J., Liou Sh., Lin Ch., Chang Y., Yu Y., & Cheng Chi., “*Effective enhancement of anticorrosive properties of polystyrene by polystyrene-Clay nanocomposite materials”, J. of Appl. Polym. Sci., Vol. 92, pp. 1970–1976, 2004.*
- [16] Akelah A., Rehab A., Agag T. & Betiha M., “*Polystyrene nanocomposite materials by in situ polymerization into Montmorillonite–Vinyl monomer interlayers”, J. Appl. Polym. Sci., Vol. 103, pp. 3739–3750, 2007.*
- [17] Zhao H., Argoti S., Farrel P. & Shipp A., “*Polymer-silicate nanocomposites produced by in situ atom transfer radical polymerization”, J. Polym. Sci. Part A: Polym. Chem., Vol. 42, pp. 916– 924, 2004.*
- [18] Haimanti D., Nikhil S. & Anil B., “*Structure and properties of Tailor-Made poly (ethylacrylate)/Clay nanocomposites prepared by in situ atom transfer radical polymerization”, J. of Appl. Polym. Sci., Vol. 108, pp. 2398–2407, 2008.*
- [19] Haimanti D., Nikhil S. & Anil B., “*Tailor-Made hybrid nanostructure of poly (ethyl acrylate)/ Clay by surface-Initiated atom transfer radical polymerization”, J. of Polym. Sci.: Part A: Polym. Chem., Vol. 46, pp. 5014–5027, 2008.*
- [20] Tang W. & Matyjaszewski K., “*Kinetic modeling of normal ATRP, normal ATRP with  $[\text{CuII}]_0$ , reverse ATRP and SR&NI ATRP”, Macromol Theory Simul, Vol. 17, pp. 359–375, 2008.*
- [21] Wittmer J.P., Cates M.E., Johner A. & Turner M.S., “*Diffusive growth of a polymer layer by in situ polymerization”, Europhys Lett, Vol. 33, pp. 397–402, 1996.*
- [22] Yoshikawa Ch., Goto A. & Fukuda T., “*Reactions of polystyrene radicals in a monomer-free atom transfer radical polymerization system”, e-Polymers, no. 013, 2002.*